

title

author

2022 年 7 月 31 日

目录

1	chapter 1	5
1.1	section1	5
1.1.1	section 2	6
1.1.2	subsection	6

Chapter 1

chapter 1

1.1 section1

引用 [1]。

公式:

$$\bar{s} = \int_{r_o}^{r_s} \frac{r}{r_s \rho_i} dr$$

(1.1)

行内公式: $\bar{s} < 2, r_o$ 。

itemize:

- item1
- item2
- item3

测试 box:

title here

测试测试测试

title here

测试测试测试

$$a = \int \cos(x) dx$$

(1.2)

title here

测试测试测试

title here

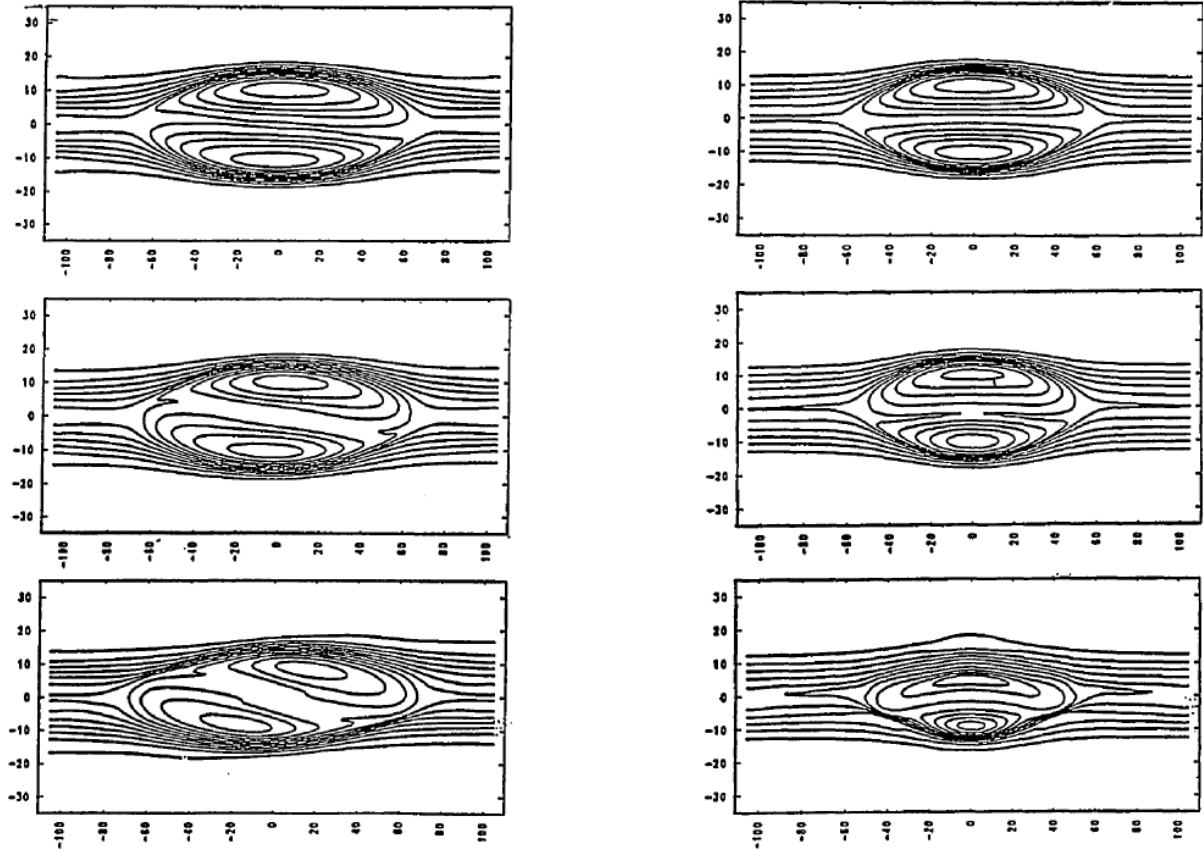
测试测试测试

测试没有 title

测试 code:

```
1 import numpy as np
2 if __name__ == '__main__':
3     print(np.zeros(5))
```

双图:



(a) evolution of density contours for the tilt mode

(b) evolution of density contours for the mushroom mode

图 1.1: FRC 中的倾斜模和蘑菇模 [2]

1.1.1 section 2

1.1.2 subsection

词语带有网页链接, 比如: [磁力矩](#)。

插入单栏图片:

插入表格:

type	1	2	3	4
1	2	3	4	5
1	2	3	4	5
1	2	3	4	5

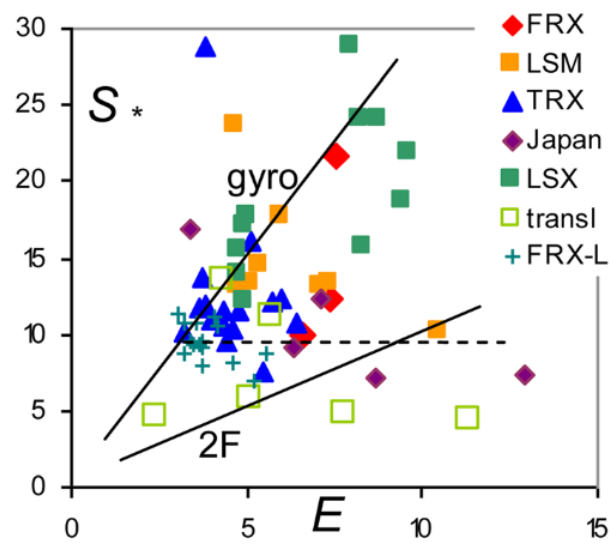


图 1.2: Size parameter vs separatrix elongation for elongated FRCs[3]

参考文献

- [1] M. Tuszewski, “Field reversed configurations,” *Nuclear Fusion*, vol. 28, no. 11, p. 2033, 1988.
- [2] J. L. Staudenmeier, *A fluid and kinetic study of the gross stability of field-reversed configurations*. The Pennsylvania State University, 1991.
- [3] L. C. Steinhauer, “Review of field-reversed configurations,” *Physics of Plasmas*, vol. 18, no. 7, p. 070501, 2011.